Электронный научно-информационный журнал «Вестник Отделения наук о Земле РАН» №1(22)′2004 URL: http://www.scgis.ru/russian/cp1251/h dgggms/1-2004/informbul-1/planet-17.pdf

## РАСПРЕДЕЛЕНИЕ ЛЬДА И ВОДЫ В КАЛЛИСТО ПО ГЕОФИЗИЧЕСКИМ ДАННЫМ Кронрод В.А. (ГЕОХИ РАН), Кусков О.Л. (ГЕОХИ РАН)

Fax: (095) 938-20-54, (095) 137-86-14 kuskov@geokhi.ru

Ключевые слова: космохимия, хондриты, Галилеевы спутники, Каллисто, водный океан

Спутник Юпитера Каллисто по размерам сравним с Меркурием, его средняя плотность ( $1.8344~\rm r~cm^{-3}$ ) наименьшая среди Галилеевых спутников. Низкая плотность Каллисто указывает на то, что спутник состоит из смеси льдов  $H_2O$  и каменного или точнее железокаменного материала в примерно равной пропорции. Под железокаменной компонентой здесь и далее понимается смесь силикатов, гидросиликатов и сульфида железа (Fe-FeS сплав).

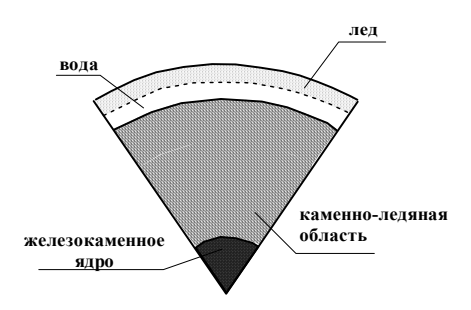


Рис. 1. Схема внутреннего строения Каллисто

Один из нерешенных вопросов в строении Каллисто - возможность существования глобального водного слоя (океана) под ледяной корой. Недавние исследования наведенного магнитного поля Каллисто зондом "Галилео" говорят в пользу гипотезы существования океана. Возмущения магнитного поля могут быть связаны с конвективными движениями в проводящем слое океанической воды [1].

Цель настоящей работы заключается в исследовании основных структурных параметров внутреннего строения Каллисто. Конкретные задачи включают: 1) изучение степени дифференциации спутника; 2) определение мощности и агрегатного состояния водно-ледяной оболочки; 3) определение концентрации льда в мантии и суммарной концентрации льда в спутнике; 4) поиск ограничений на распределение плотности в мантии, на максимальные и минимальные размеры железокаменного ядра. В качестве опорной информации использованы ограничения на массу и момент инерции спутника [2], геохимические данные по составу метеоритов, а также термодинамические данные по уравнениям состояния воды, льдов высокого давления и вещества обыкновенных L/LL- хондритов в системе Na<sub>2</sub>O-TiO<sub>2</sub>-CaO-FeO-MgO-Al<sub>2</sub>O<sub>3</sub>-SiO<sub>2</sub>-Fe-FeS (силикатов/ гидросиликатов и Fe-FeS сплава). Для определения плотности мантии использовался программный комплекс THERMOSEISM [3]. При моделировании строения внешней оболочки принято, что теплоперенос в ледяной коре осуществляется посредством теплопроводности [4, 5].

Мы использовали шестислойную модель Каллисто, включающую ледяную кору, водный океан, трехслойную каменно-ледяную мантию и железокаменное ядро. Модель описывается системой уравнений, включающей уравнения момента и массы, гидростатического равновесия, уравнения состояния, уравнения теплопереноса. Плотность мантии и радиус ядра находятся методом Монте-Карло.

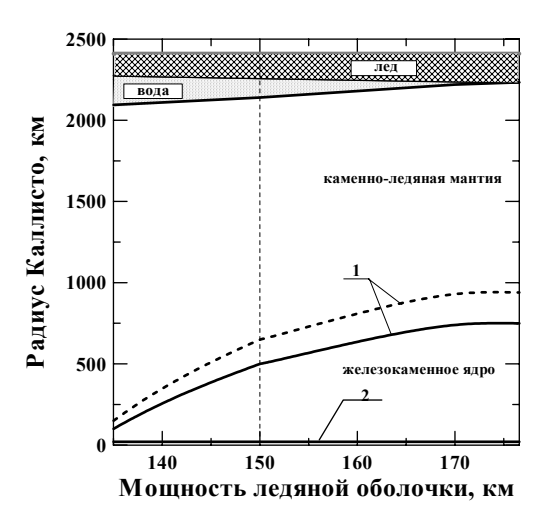
Концентрация ледяной компоненты в каждом і-том резервуаре мантии определяется по уравнениям:

$$C_{i,ice} = \left[\frac{\rho_{ice}(\rho_{Fe-Si} - \rho)}{\rho(\rho_{Fe-Si} - \rho_{ice})}\right]_{i}$$

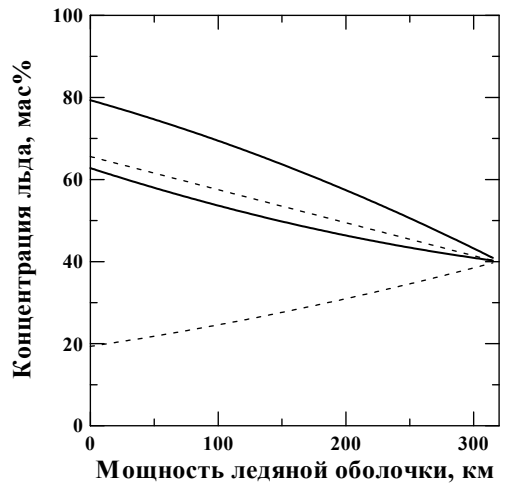
$$C_{i+1 ice} < C_{i}$$

Здесь  $\rho_{i,Fe-Si}$ ,  $\rho_{i,ice}$ ,  $\rho$ ,  $C_{i,ice}$  плотность железокаменной компоненты, плотность льда, плотность смеси льда и железокаменной компоненты, массовая концентрация льда. Концентрация льда не может возрастать с глубиной, так как более тяжелая железокаменная компонента может двигаться относительно льда только к центру спутника. Мы предполагаем, что реология льда неньютоновская. В этом случае по оценкам [5] в ледяной коре отсутствует конвекция. Распределение температуры в слое льда-I описывается уравнением теплопроводности. В водном океане и льдах высокого давления предполагается конвективный теплоперенос, профиль температуры идет по адиабате [4].

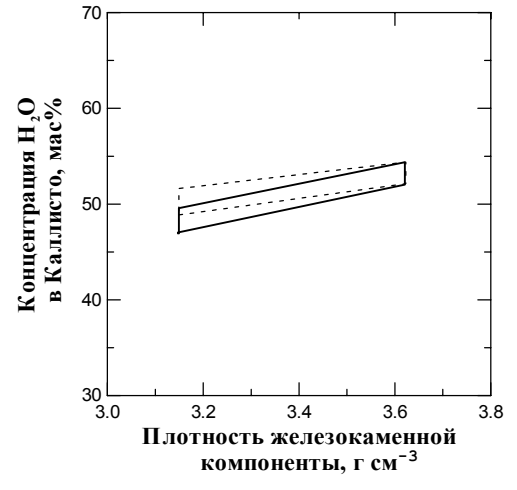
Модель внутреннего строения Каллисто приведена на Рис. 2. Максимальная мощность водно-ледяного слоя 315 км. Радиус железокаменного ядра может находиться в интервале 0-1280 км, для модели с жидким слоем всего несколько километров R(Fe-Si-core)=0-950 км. Вышеприведенные оценки получены без ограничений на тепловой поток из Каллисто. Определены геофизически допустимые концентрации льда в мантии Каллисто (Рис.3). Концентрация льда становится почти постоянной по глубине (40 мас.%) при мощности водно-ледяного слоя 300-315 км.



**Рис. 2.** Внутреннее строение Каллисто с внутренним океаном: толщина ледяной литосферы находится в интервале 135-150 км, толщина водного слоя составляет 120 - 180 км, а общая мощность водно-ледяной оболочки  $\sim$ 270-315 км. 1 - максимальные размеры железокаменного ядра. Сплошная линия - плотность железокаменной компоненты  $\rho_{\text{Fe-Si}} = 3.62 \text{ г/см}^3$ , штриховая - 3.15 г/см<sup>3</sup>. 2 - минимальные размеры ядра. Вертикальная линия соответствует мощности ледяной коры 150 км. В области 135-150 км тепловые потоки из Каллисто находятся в интервале F=3.3-3.7 мВт/м<sup>2</sup>.

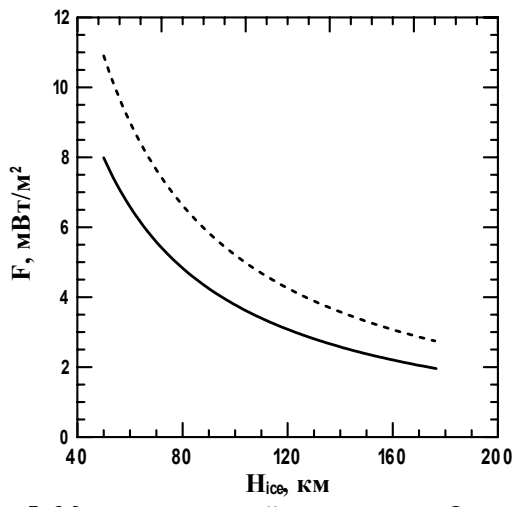


**Рис. 3.** Область допустимых значений концентраций льда  $H_2O$  в среднем (штриховая линия) и нижнем (сплошная линия) резервуарах каменно-ледяной мантии Каллисто.

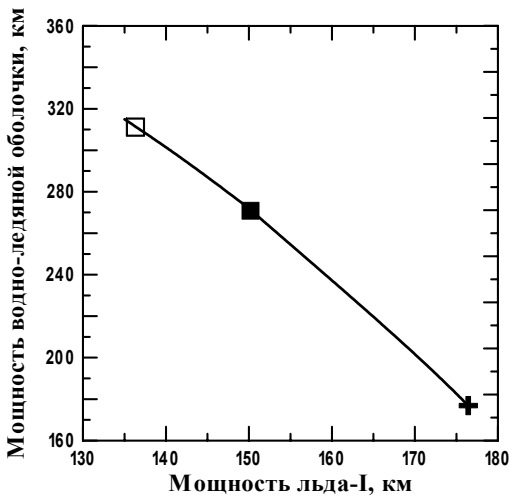


**Рис. 4.** Валовая концентрация  $H_2O$  в Каллисто. Сплошная линия — концентрация  $H_2O$  в каменноледяной мантии + водно-ледяная оболочка. Пунктирная — то же самое, но с учетом химически связанной  $H_2O$  в водосодержащих минералах.

Модели с постоянной концентрацией льдов в каменно-ледяной мантии Каллисто реализуются во всем диапазоне мощности водно-ледяной оболочки. С учетом химически связанной  $H_2O$  в водосодержащих минералах суммарная концентрация  $H_2O$  в Каллисто оценивается в интервале ~49-54 мас.%, рис. 4. Построена модель водно-ледяной оболочки на основе модели теплопереноса и фазовой диаграммы льдов высокого давления. Вода находится в жидкой фазе, если тепловой поток больше, чем 2 мВ/м<sup>2</sup>.



**Рис. 5.** Мощность ледяной коры из льда-I в зависимости от теплового потока с поверхности Каллисто. Штриховая линия — температура поверхности 100 K, сплошная — 130 K.



**Рис. 6.** Зависимость мощности водно-ледяной оболочки Каллисто (лед - I + вода) от мощности коры из льда-I. Символами обозначают фиксированные значения теплового потока F через ледяную кору и температуры  $T_1$  на поверхности. Светлый квадрат - F=3.3 мВт/ $M^2$ ,  $T_1$ =112 K; темный квадрат - F=3.3 мВт/ $M^2$ ,  $T_1$ =100 K; крест - F=2.7 мВт/ $M^2$ ,  $T_1$ =100 K.

Оценки теплового потока от радиогенных источников дают величину  $3.3 - 3.9 \text{ мB/m}^2$ . Нами была определена максимальная величина теплового потока в  $3.7 \text{ мB/m}^2$ . В этом случае величина теплового потока из Каллисто при наличии водного океана находится в узком интервале  $3.3 - 3.7 \text{ мB/m}^2$ . Зависимость теплового потока от мощности ледяной коры показана на рис. 5.

Мощность водно-ледяной оболочки непосредственно зависит от теплового потока или от мощности ледяной коры. Если тепловой поток находится в интервале  $3.3-3.7~\text{мB/м}^2$ , мощность водно-ледяной оболочки составляет 270-315 км. На рис. 6 показана зависимость мощности водно-ледяного слоя от мощности ледяной оболочки. При толщине водно-ледяной оболочки 270-315 км мощность ледяной коры составляет 135-150 км, мощность внутреннего океана — 120-180 км. Для этой модели радиус железокаменного ядра не превышает 600 км.

## Заключение

Рассмотрены возможные модели строения Каллисто. Показано, что однослойная модель Каллисто с постоянной концентрацией льда от поверхности до центра, равно как и двухслойная модель спутника, дифференцированного на ледяную (водно-ледяную) оболочку и железокаменное ядро, не реализуются. Возможны модели с ледяной оболочкой мощностью вплоть до ~315 км и железокаменным ядром с радиусом вплоть до 1120-1280 км в различных сочетаниях с каменно-ледяной мантией. Модели с постоянной концентрацией льдов в каменно-ледяной мантии Каллисто реализуются во всем диапазоне мощности водно-ледяной оболочки. С учетом химически связанной H<sub>2</sub>O в водосодержащих минералах суммарная концентрация H<sub>2</sub>O в Каллисто оценивается в интервале ~49-54 мас.%. Для моделей с кондуктивным механизмом теплопереноса в слое льда-I исследованы сценарии строения Каллисто с внутренним океаном. Показано, что для современного теплового потока F=3.3-3.7 мВт/м², соответствующего ожидаемому от радиогенных источников тепла, полная мощность водно-ледяной оболочки составляет ~270-315 км, ледяного покрова - ~135-150 км, а толщина подстилающего водного слоя ~120-180 км. Для этой модели размеры железокаменного ядра не превышают 500-600 км, концентрация льда

в каменно-ледяной мантии постоянна по глубине и составляет ~40 мас.%.

Работа выполнена при поддержке РФФИ (гранты № 03-05-64413, № 04-05-64867) и гранта по программе фундаментальных исследований Президиума РАН № 25)

## Литература

- 1. Zimmer C. et al., Subsurface oceans on Europe and Callisto // Icarus. 2000. V. 147. PP. 329-347.
- 2. Anderson J.D. et al., Shape, mean radius, gravity field, and interior structure of Callisto // Icarus, 2001. V.153. PP. 157-157.
- 3. *Kuskov O.L., Kronrod V.A.* Core sizes and internal structure of the Earth's and Jupiter's satellites // Icarus. 2001. V.151. PP. 204-227.
- 4. Kronrod V.A., Kuskov O.L. Chemical differentiation of the Galilean satellites of Jupiter: 1. An internal structure of Callisto's water-ice shell // Geokhimia. 2003. № 9. PP. 968-983. (Geochem. Intern. 2003. V. 41).
- 5. *Ruiz J.* The stability against freezing of an internal liquid-water ocean in Callisto // Nature. 2001. V. 412. PP. 409-411.

Вестник Отделения наук о Земле РАН - №1(22) 2004 Информационный бюллетень Ежегодного семинара по экспериментальной минералогии, петрологии и геохимии 2004 года (ЕСЭМПГ-2004) URL: http://www.scgis.ru/russian/cp1251/h\_dgggms/1-2004/informbul-1/planet-17.pdf Опубликовано 1 июля 2004 г

© Вестник Отделения наук о Земле РАН, 1997 (год основания), 2004

При полном или частичном использовании материалов публикаций журнала, ссылка на "Вестник Отделения наук о Земле РАН" обязательна